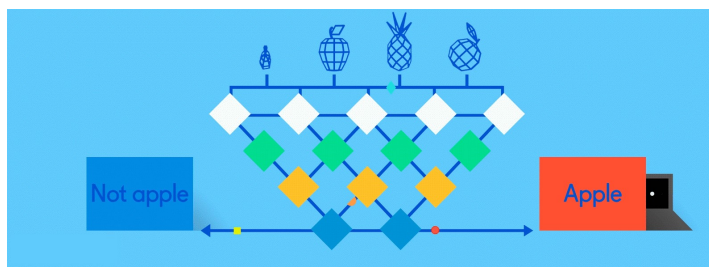


第十八讲 预测II

2022.12.30



复共线性 (collinearity)

复共线性

回归分析中如果某些或全部自变量之间存在较强的相关性，表现为设计阵 X 的各列近似是线性相关的，这种线性称为复共线性。复共线性会导致某些LS估计的方差会过大，进而均方误差偏大。

例1. 假设 $(y_i, x_{i1}, x_{i2}), i = 1, 2, \dots, n$, 满足模型:

$$y_i = a + bx_{i1} + cx_{i2} + \varepsilon_i, \quad \varepsilon_i \text{ iid } \sim (0, \sigma^2), \quad \varepsilon_i \text{ 与 } x_{i1}, x_{i2} \text{ 独立,}$$

即 $\mathbf{y} = \mathbf{1}a + \mathbf{x}_1b + \mathbf{x}_2c + \boldsymbol{\varepsilon}$ 。

记 r_{12} 为 \mathbf{x}_1 与 \mathbf{x}_2 的相关系数, S_{y1} 为 \mathbf{y} 与 \mathbf{x}_1 的样本协方差, 等等。

由第十二讲命题3, \hat{b} 的方差

$$\text{var}(\hat{b} | X) = \frac{\sigma^2}{S_{11 \cdot 2}} = \frac{\sigma^2}{S_{11} - S_{12}^2/S_{22}} = \frac{\sigma^2}{S_{11}} \times \frac{1}{1 - r_{12}^2},$$

对比 \mathbf{x}_1 与 \mathbf{x}_2 不相关时的方差 $\frac{\sigma^2}{S_{11}}$, 方差增大了倍数 $\text{VIF} = \frac{1}{1 - r_{12}^2}$,

称为方差扩大因子(VIF, variance inflation factor)。

下面考察一般模型中LS估计 $\hat{\beta}_k$ 的方差大小与复共线性之间的关系。

模型 $\mathbf{y} = X\boldsymbol{\beta} + \boldsymbol{\varepsilon} = \mathbf{1}\beta_0 + \mathbf{x}_{(1)}\beta_1 + \dots + \mathbf{x}_{(p-1)}\beta_{p-1} + \boldsymbol{\varepsilon}$, $\boldsymbol{\varepsilon} \sim (0, \sigma^2 I_n)$,

对 $k \geq 1$, 若 $\mathbf{x}_{(k)}$ 与其它自变量不相关, 则LS估计 $\hat{\beta}_k = \mathbf{x}_{(k)}^\top \mathbf{y} / \|\mathbf{x}_{(k)}\|^2$,

$$\text{var}_0(\hat{\beta}_k | X) = \frac{\sigma^2}{\|\mathbf{x}_{(k)} - \mathbf{1}\bar{x}_{(k)}\|^2} \quad (1)$$

一般地, 由第十二讲命题3(LS估计的分量), $\hat{\beta}_k = \mathbf{x}_{(k)}^\perp{}^\top \mathbf{y} / \|\mathbf{x}_{(k)}^\perp\|^2$,

$$\text{var}(\hat{\beta}_k | X) = \sigma^2 / \|\mathbf{x}_{(k)}^\perp\|^2, \quad (2)$$

其中 $\mathbf{x}_{(k)}^\perp = \mathbf{x}_{(k)} - P_{X_{(-k)}} \mathbf{x}_{(k)} = \mathbf{x}_{(k)} - \hat{\mathbf{x}}_{(k)}$ 为 $\mathbf{x}_{(k)}$ 相对于其它列的正交化。相对于正交情形下的方差(2), (1)中 $\hat{\beta}_k$ 的方差增大的倍数为

$$VIF = \frac{1}{1 - R_k^2},$$

其中 $R_k^2 = \|\hat{\mathbf{x}}_{(k)} - \mathbf{1}\bar{x}_k\|^2 / \|\mathbf{x}_{(k)} - \mathbf{1}\bar{x}_k\|^2$ 为 $\mathbf{x}_{(k)}$ 与其它自变量的决定系数。

L2惩罚最小二乘: 岭回归

设计阵 X 存在复共线性时, $X^T X$ 不可逆或接近于不可逆。

通常以条件数 $\lambda_{\max}(X^T X) / \lambda_{\min}(X^T X)$ 度量复共线的程度。

若条件数过大(比如大于1000), 即认为存在严重的复共线性,

此时LS估计的方差 $\text{var}(\hat{\beta}) = \sigma^2(X^T X)^{-1}$ 的某些对角元会很大。

岭估计

模型: $\mathbf{y} = X\boldsymbol{\beta} + \boldsymbol{\varepsilon}, \boldsymbol{\varepsilon} \sim (0, \sigma^2 I_n)$ 。定义岭估计(ridge estimator)

$$\tilde{\boldsymbol{\beta}}^{(\text{Ridge})} = (X^T X + \lambda I_p)^{-1} X^T \mathbf{y},$$

其中 $\lambda > 0$ 为常数 (Hoerl and Kennard, 1970)



什么是岭(ridge)? 当目标函数的二阶导数矩阵不可逆时 (LS中二阶导数为 $-X^T X$), 最大值附近不是一个山峰而是等高的山脊(ridge), 最大点不唯一或不稳定。

L2惩罚最小二乘得到岭估计

$\tilde{\boldsymbol{\beta}}^{(\text{Ridge})}$ 是如下惩罚最小二乘 (penalized LS) 估计或规则化最小二乘估计的解 (regularized LS):

$$\begin{aligned}\tilde{\boldsymbol{\beta}}^{(\text{Ridge})} &= \operatorname{argmin} \left\{ \|\mathbf{y} - X\boldsymbol{\beta}\|^2 + \lambda \|\boldsymbol{\beta}\|^2 \right\} \\ \Leftrightarrow \tilde{\boldsymbol{\beta}}^{(\text{Ridge})} &= \operatorname{argmin} \|\mathbf{y} - X\boldsymbol{\beta}\|^2, \quad \text{约束 } \|\boldsymbol{\beta}\| < t\end{aligned}$$

命题1.

(a) 岭估计是压缩估计: $\|\tilde{\boldsymbol{\beta}}^{(\text{Ridge})}\| < \|\hat{\boldsymbol{\beta}}\|$, $\hat{\boldsymbol{\beta}} = (X^T X)^{-1} X^T \mathbf{y}$

(b) 存在 $\lambda > 0$, 使得 $m(\tilde{\boldsymbol{\beta}}^{(\text{Ridge})}) \leq m(\hat{\boldsymbol{\beta}})$,

即基于某些岭估计比基于LS估计的预测误差更小。

证明较为复杂, 我们只考虑一个简单情形 (命题2)

$XX^T = I_p$
情形

命题2. 假设 $X^T X = I_p$, 则岭估计 $\tilde{\boldsymbol{\beta}}^{(\text{ridge})} = \hat{\boldsymbol{\beta}} / (1 + \lambda)$ (压缩估计), 且

$$m(\tilde{\mathbf{y}}^{(\text{ridge})}) = \frac{p\sigma^2}{(1+\lambda)^2} + \frac{\lambda^2}{(1+\lambda)^2} \boldsymbol{\beta}^T \boldsymbol{\beta}, \text{ 其最小值在 } \lambda_{\text{optimal}} = \frac{p\sigma^2}{\|\boldsymbol{\beta}\|^2} \text{ 达到, 且}$$

最小值小于 $m(\hat{\mathbf{y}}) = p\sigma^2$.

证明: $\tilde{\boldsymbol{\beta}}^{(\text{ridge})} = (X^T X + \lambda I_p)^{-1} X^T \mathbf{y} = X^T \mathbf{y} / (1 + \lambda)$, 则

$$\text{方差: } \text{var}(\tilde{\boldsymbol{\beta}}^{(\text{ridge})}) = \sigma^2 I_p / (1 + \lambda)^2 \quad \downarrow \lambda$$

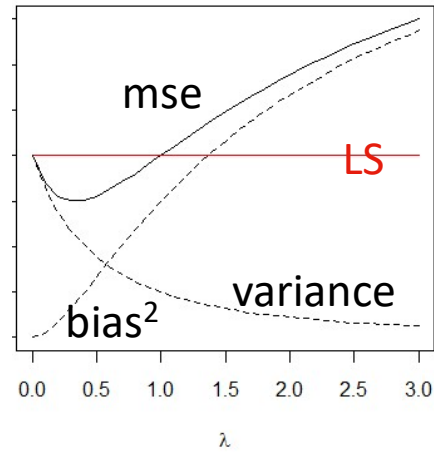
$$\text{偏差: } \mathbf{b} = \text{bias}(\tilde{\boldsymbol{\beta}}^{(\text{ridge})}) = E(\tilde{\boldsymbol{\beta}}^{(\text{ridge})}) - \boldsymbol{\beta} = \lambda \boldsymbol{\beta} / (1 + \lambda) \quad \uparrow \lambda$$

$$\Rightarrow M(\tilde{\boldsymbol{\beta}}^{(\text{ridge})}) = \text{var}(\tilde{\boldsymbol{\beta}}^{(\text{ridge})}) + \mathbf{b}\mathbf{b}^T = \sigma^2 I_p / (1 + \lambda)^2 + (\lambda^2 / (1 + \lambda)^2) \boldsymbol{\beta}\boldsymbol{\beta}^T,$$

$$M(\tilde{\mathbf{y}}^{(\text{ridge})}) = X M(\tilde{\boldsymbol{\beta}}^{(\text{ridge})}) X^T$$

$$\Rightarrow m(\tilde{\mathbf{y}}^{(\text{ridge})}) = \text{tr} M(\tilde{\mathbf{y}}^{(\text{ridge})}) = \text{tr} M(\tilde{\boldsymbol{\beta}}^{(\text{ridge})}) = \frac{p\sigma^2}{(1+\lambda)^2} + \frac{\lambda^2}{(1+\lambda)^2} \|\boldsymbol{\beta}\|^2,$$

其余易证。



岭回归 与JS估计

$\lambda_{\text{optimal}} = \frac{p\sigma^2}{\|\hat{\boldsymbol{\beta}}\|^2}$ 中含未知参数，需要代入其估计。

因为 $\text{var}(\hat{\boldsymbol{\beta}}) = \sigma^2 I_p$, $E(\hat{\boldsymbol{\beta}}) = \boldsymbol{\beta}$, 所以 $E \|\hat{\boldsymbol{\beta}}\|^2 = \|\boldsymbol{\beta}\|^2 + p\sigma^2$

以 $\|\hat{\boldsymbol{\beta}}\|^2 - p\hat{\sigma}^2$ 估计 $\|\boldsymbol{\beta}\|^2$, 得 $\hat{\lambda}_{\text{optimal}} = 1 - \frac{p\hat{\sigma}^2}{\|\hat{\boldsymbol{\beta}}\|^2}$, 所以“最优”岭估计:

$$\tilde{\boldsymbol{\beta}}^{\text{ridge}}(\hat{\lambda}_{\text{optimal}}) = \left(1 - \frac{p\hat{\sigma}^2}{\|\hat{\boldsymbol{\beta}}\|^2}\right) \hat{\boldsymbol{\beta}},$$

该估计称为（回归问题的）James – Stein估计。

L1惩罚最小二乘: LASSO

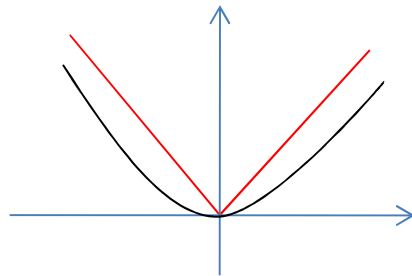
LASSO方法 (Least Absolute Shrinkage and Selection Operator, Tibshirani, 1996) 惩罚回归系数的L1模, 把接近0的回归系数估计为0, 被认为是一种变量选择方法。

$$\text{LASSO估计: } \tilde{\boldsymbol{\beta}}^{(\text{lasso})} = \operatorname{argmin} \left\{ \frac{1}{2} \|\mathbf{y} - X\boldsymbol{\beta}\|^2 + \lambda \|\boldsymbol{\beta}\|_1 \right\}, \lambda > 0 \text{ 给定}$$

$$\Leftrightarrow \tilde{\boldsymbol{\beta}}^{(\text{lasso})} = \operatorname{argmin} \|\mathbf{y} - X\boldsymbol{\beta}\|^2, \text{ 约束 } \|\boldsymbol{\beta}\|_1 < t,$$

其中L1模 $\|\mathbf{u}\|_1 = \sum |u_i|$, λ 与 t 之间1:1对应。

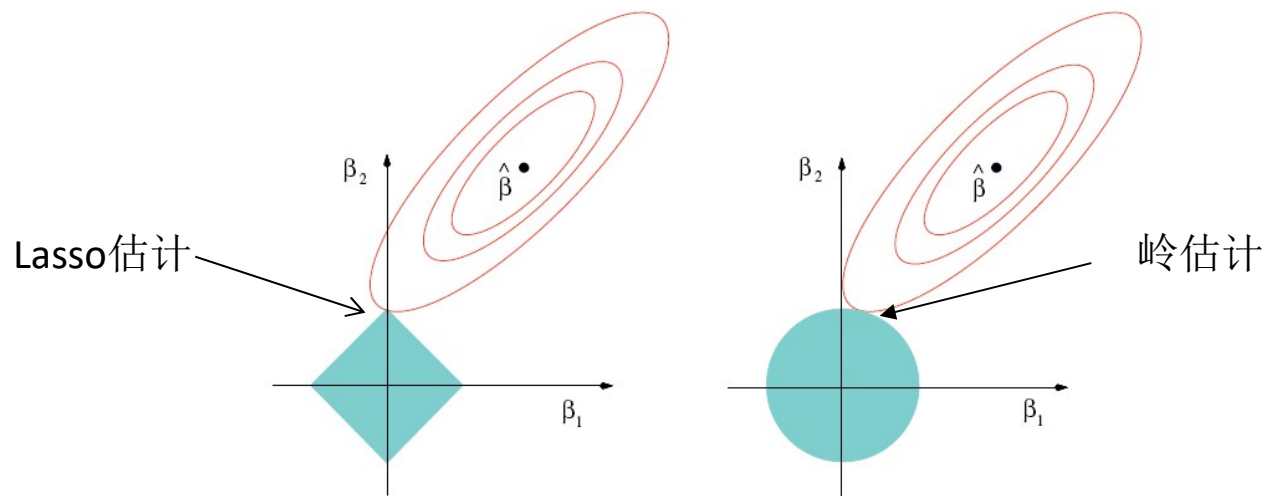
L1与L2:



尖锐:二阶导(能量)无穷大

LS的目标函数 $\| \mathbf{y} - X\boldsymbol{\beta} \|^2 = \| \mathbf{y} - X\hat{\boldsymbol{\beta}} \|^2 + (\boldsymbol{\beta} - \hat{\boldsymbol{\beta}})^\top X^\top X (\boldsymbol{\beta} - \hat{\boldsymbol{\beta}})$,
 $\min \| \mathbf{y} - X\boldsymbol{\beta} \|^2 \Leftrightarrow \min (\boldsymbol{\beta} - \hat{\boldsymbol{\beta}})^\top X^\top X (\boldsymbol{\beta} - \hat{\boldsymbol{\beta}})$, $\hat{\boldsymbol{\beta}}$ 是LS估计

下图蓝色区域分别是 $L1$ (左图)和 $L2$ (右图)约束区域。设 $\hat{\boldsymbol{\beta}}$ 不在约束区域。
红色椭圆为目标函数 $(\boldsymbol{\beta} - \hat{\boldsymbol{\beta}})^\top X^\top X (\boldsymbol{\beta} - \hat{\boldsymbol{\beta}})$ 的等高线。
椭圆与约束区域的切点满足约束, 且使得目标函数达到最小。
(左图: 尖点更容易与椭圆碰到, 此时 $\beta_1 = 0$)。



简单回归情况

假设简单回归模型 $y_i = x_i\beta + \varepsilon_i$ (y, x 都已中心化), 误差平方和

$$f(\beta) = \|\mathbf{y} - \mathbf{x}\beta\|^2 = \mathbf{x}^\top \mathbf{x}\beta^2 - 2\mathbf{x}^\top \mathbf{y}\beta + \mathbf{y}^\top \mathbf{y} \hat{=} a\beta^2 - 2b\beta + c$$

L1惩罚的目标函数 ($\lambda > 0$ 给定) :

$$Q(\beta) = f(\beta)/2 + \lambda |\beta| = a\beta^2/2 - b\beta + c/2 + \lambda |\beta|,$$

\Rightarrow 一阶导数: $Q'(\beta) = a\beta - b + \lambda \operatorname{sgn}(\beta)$

$$\Rightarrow \text{最优解 } \tilde{\beta}_{\text{lasso}} = \begin{cases} (b - \lambda)/a, & b > \lambda \\ 0, & |b| \leq \lambda \\ (b + \lambda)/a, & b < -\lambda \end{cases} \quad \begin{array}{l} \text{当 } |b| < \lambda \text{ 时,} \\ \text{估计值等于 } 0 \end{array}$$

$$\operatorname{sgn}(b) = \begin{cases} 1 & b > 0 \\ 0 & b = 0, \\ -1 & b < 0 \end{cases}$$

对比LS, 岭回归、LASSO

	目标函数	一阶导数	二阶导数	最优解
LS	$f(\beta)/2$	$a\beta - b = \mathbf{x}^T \mathbf{x} \beta - \mathbf{x}^T \mathbf{y}$	a	$b/a = \mathbf{x}^T \mathbf{y} / \mathbf{x}^T \mathbf{x}$
岭回归	$f(\beta)/2 + \lambda \beta^2$	$a\beta - b + \lambda \beta$	$a + \lambda$	$b/(a + \lambda)$
LASSO	$f(\beta)/2 + \lambda \beta $	$a\beta - b + \lambda \text{sgn}(\beta)$	$a + \lambda \delta(0)$ (0点处无 穷大)	$\begin{cases} (b - \lambda)/a & \text{当 } b > \lambda \\ (b + \lambda)/a & \text{当 } b < -\lambda \\ 0 & \text{当 } b < \lambda \end{cases}$

注1. 一般情形下, LASSO没有显式解, 的常用解法有: 坐标下降法, least-angle regression (LARS), 梯度下降法...

注2. 通常只对回归系数(不包括截距)进行约束, 故 X, y 首先需要中心化

坐标下降法

为了极小化二元函数 $\min_{x,y} f(x,y)$ ，在给定其中一个变量的条件下，对另一个变量极小化：

初始化 $y = y_0$,

(a) 给定 y_0 ，对 x 极小化： $x_0 = \operatorname{argmin}_x f(x, y_0)$

(b) 给定 x_0 ，对 y 极小化： $y_0 = \operatorname{argmin}_y f(x_0, y)$

重复(a) - (b).

坐标下降法求LASSO估计

不妨设设计阵 X 已经中心化且标准化（模为1）。

记设计阵 X 的第 j 列为 \mathbf{x}_j ，其它列组成 $X_{(-j)}$ 。

LASSO方法目标函数 $Q(\boldsymbol{\beta}) = \frac{1}{2} \|\mathbf{y} - X\boldsymbol{\beta}\|^2 + \lambda \|\boldsymbol{\beta}\|_1$ 中，假设除了 β_j 之外，其它 $\boldsymbol{\beta}_{(-j)} = (\beta_1, \dots, \beta_{j-1}, \beta_{j+1}, \dots, \beta_p)^\top$ 给定（假设都已解得），记 $\mathbf{y}^* = \mathbf{y} - X_{(-j)}\boldsymbol{\beta}_{(-j)}$ 已知。目标函数为 β_j 的二次函数：

$$\begin{aligned} Q(\boldsymbol{\beta}) &= \frac{1}{2} \|\mathbf{y} - X_{(-j)}\boldsymbol{\beta}_{(-j)} - \mathbf{x}_j\beta_j\|^2 + \lambda \|\boldsymbol{\beta}_{(-j)}\|_1 + \lambda |\beta_j| \\ &= \frac{1}{2} \|\mathbf{y}^* - \mathbf{x}_j\beta_j\|^2 + \lambda \|\boldsymbol{\beta}_{(-j)}\|_1 + \lambda |\beta_j| \end{aligned}$$

$$Q(\boldsymbol{\beta}) = \frac{1}{2} \beta_j^2 - \mathbf{x}_j^\top \mathbf{y}^* \beta_j + \lambda |\beta_j| + C, \text{ 其中 常数 } C = \frac{1}{2} \|\mathbf{y}^*\|^2 + \lambda \|\boldsymbol{\beta}_{(-j)}\|_1.$$

Q 作为 β_j 的函数，与简单回归情况下LASSO的目标函数一致，

记 $b = \mathbf{x}_j^\top \mathbf{y}^* = (\mathbf{x}_j^\top \mathbf{x}_j)^{-1} \mathbf{x}_j^\top \mathbf{y}^*$ ，最优解为

$$\beta_j = \begin{cases} b - \lambda & b > \lambda, \\ 0 & |b| \leq \lambda, \\ b + \lambda & b < -\lambda, \end{cases} = \text{sgn}(b)(|b| - \lambda)_+$$

对所有 $j = 1, \dots, p$ 进行上述过程，得到所有回归系数的当前解。

给定这些回归系数的当前的解，再次对每个分量依次极小化。

重复直至收敛。

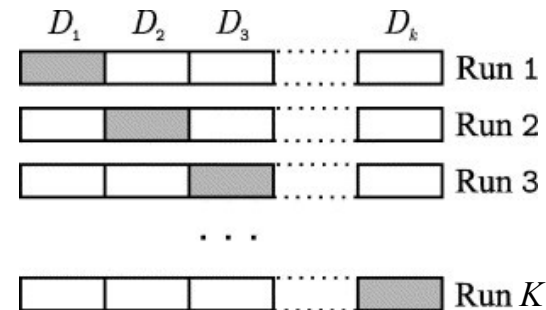
交叉验证 (CV, Cross-validation)

C_p /AIC/BIC准则都是在一定假设下推导得到的预测精度准则，并不一定适用于所有预测问题。具体实践中，更为合理的方式是将预测方法应用于测试数据集（真实响应已知，但假装未知并对之预测），比较预测值于真实值的差距即预测误差。交叉验证将数据分为两部分：

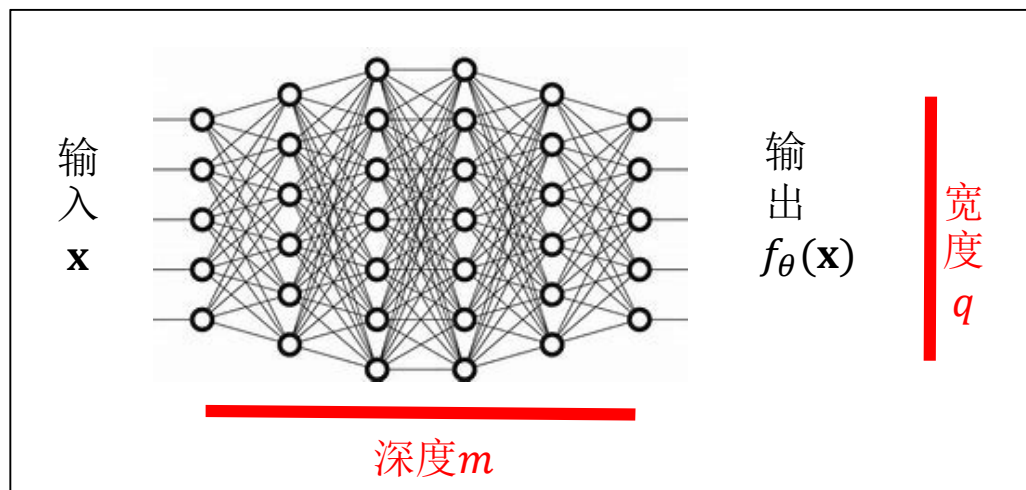
- 训练样本(training sample): 用来建立模型和预测方法
- 检验/测试样本(testing sample): 用来评价训练得到的预测。

K-fold CV

将数据集划分成 K 份，取 $K - 1$ 份作为训练集，另外一份作为测试集用于计算预测误差。轮流 K 次。一般 $K = 5$ 或 10 。



深度神经网络 (Deep Neural Network, DNN)简介



深度神经网络DNN是深度学习的核心方法，主要用于预测和分类。DNN将输入（自变量、特征）进行若干非线性变换，变换后的特征与响应变量建立通常的回归模型。

若回归函数 $E(y|x)$ 不是 x 的线性函数，一种简单策略是添加高阶项，即多项式回归：

$$y = a + bx + cx^2 + \dots + dx^q + \varepsilon = a + \boldsymbol{\beta}^\top \mathbf{h} + \varepsilon$$

基本思路：将 x 映射到高维： $x \rightarrow \mathbf{h} = (x, \dots, x^q)$ ，然后在 q 维空间中建立线性回归（注意：关于 \mathbf{h} 线性，关于 x 非线性）。

类似地，神经网络DNN的核心也是估计非线性回归函数。DNN将自变量（预测变量）向更高维空间映射，多次映射，得到的 \mathbf{h}_m 与响应变量 y 建立线性回归模型（但与原始自变量 x 之间是非线性关系）。

模型结构

数据和问题

自变量/特征: $\mathbf{x} \in R^p$, 响应/类别标号: $y \in R^1$

目标: 估计非线性回归函数 $f_{\theta}(\mathbf{x}) = E(y|\mathbf{x})$, 预测 y

深度神经网络DNN

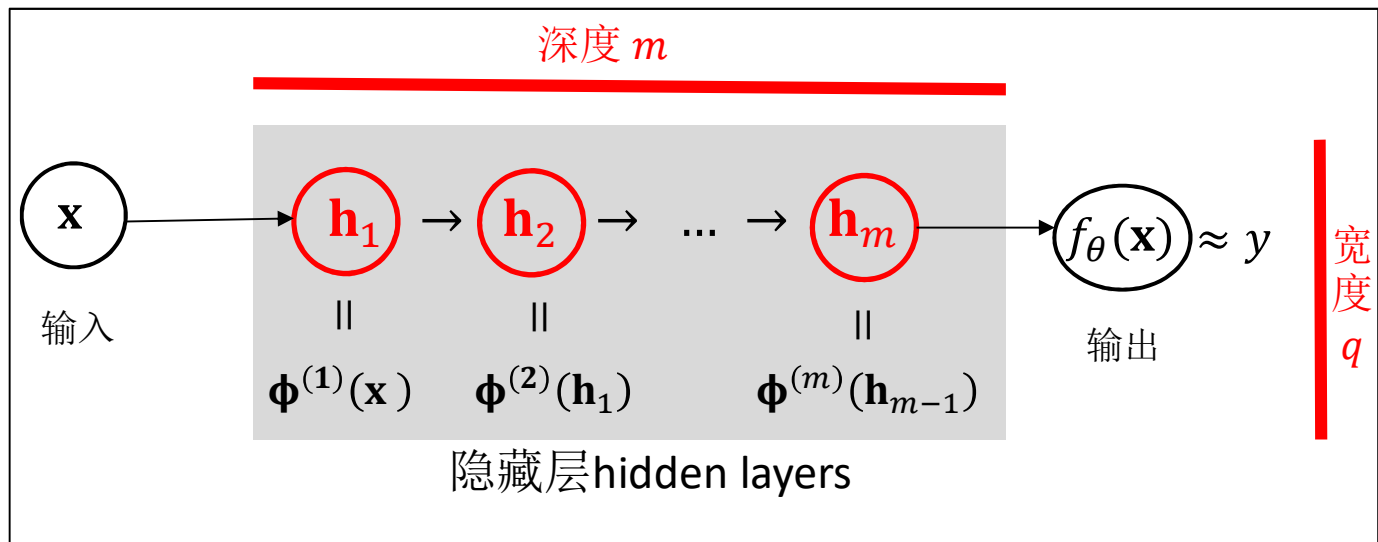
DNN将自变量(特征) \mathbf{x} 进行多次复合变换, 最终得到非线性变换

$$\mathbf{h}_m = \boldsymbol{\phi}^{(m)} \left(\boldsymbol{\phi}^{(m-1)} \left(\dots \boldsymbol{\phi}^{(1)}(\mathbf{x}) \right) \right)$$

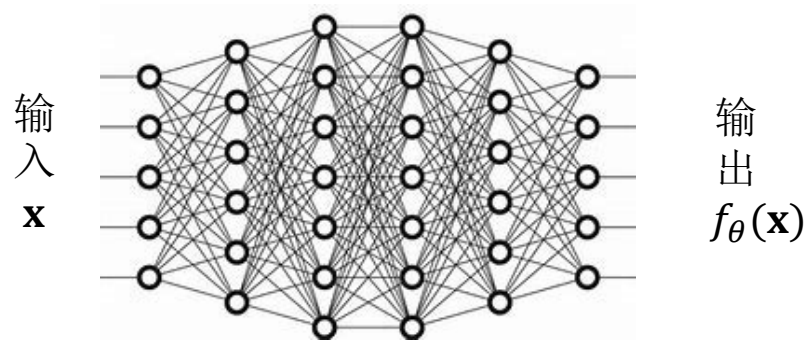
并建立线性回归 $E(y|\mathbf{x}) = f_{\theta}(\mathbf{x}) = \beta_0 + \boldsymbol{\beta}^T \mathbf{h}_m$ 或其它回归模型

参考: G.Strang (2019) Linear algebra and learning from data (Part VII).
/books/LA4.pdf

DNN图示



DNN通常图示如下，每个节点代表一个变量，称为神经元。



DNN = 自变量复合变换 + 线性模型（或logistic模型等）

□ **复合**: 对输入 \mathbf{x} 进行递归非线性变换(隐藏层): $\mathbf{h}_k = \boldsymbol{\phi}^{(k)}(\mathbf{h}_{k-1}), k = 1, 2, \dots, m,$

$$\mathbf{h}_m = \boldsymbol{\phi}^{(m)} \left(\boldsymbol{\phi}^{(m-1)} \left(\dots \boldsymbol{\phi}^{(1)}(\mathbf{x}) \right) \right)$$

❖ 常用的非线性变换: 仿射ReLU激活 $\mathbf{h}_k = (A_k \mathbf{h}_{k-1} + \mathbf{b}_k)_+$

$$\text{ReLU变换: } \mathbf{h}_k = \boldsymbol{\phi}^{(k)}(\mathbf{h}_{k-1}) = (A_k \mathbf{h}_{k-1} + \mathbf{b}_k)_+$$

A_k : 矩阵, \mathbf{b}_k : 偏置(bias), $(\bullet)_+$: ReLU非线性激活

□ **回归**: \mathbf{h}_m 与响应变量满足回归模型: $E(y|\mathbf{x}) = \varphi(\mathbf{h}_m) \triangleq f_{\theta}(\mathbf{x}),$ 比如

❖ 线性回归: $\varphi(\mathbf{h}_m) = \beta_0 + \boldsymbol{\beta}^T \mathbf{h}_m \approx y$

❖ Logistic回归: $\varphi(\mathbf{h}_m) = 1 / (1 + \exp(-\beta_0 - \boldsymbol{\beta}^T \mathbf{h}_m))$

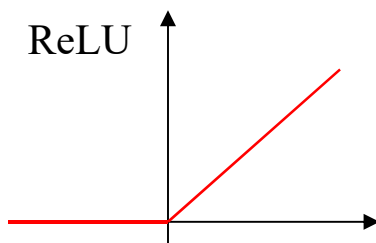
宽度

ReLU函数

正部函数也被称为 ReLU (Rectified Linear Unit) 激活函数:

$$\text{ReLU}(u) = u_+ = \max(0, u) = u1_{(u>0)} = \begin{cases} u & u \geq 0 \\ 0 & u < 0 \end{cases}$$

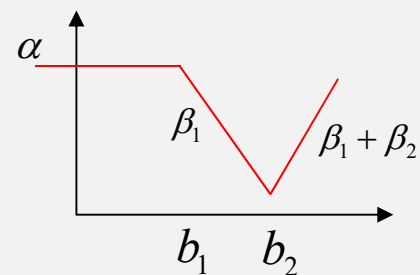
ReLU是神经网络中最基本和最简单的非线性变换函数。



例如: $f(x) = \alpha + \beta_1(x - b_1)_+ + \beta_2(x - b_2)_+$

$$= \begin{cases} \alpha & x < b_1 \\ \alpha + \beta_1(x - b_1) & b_1 \leq x < b_2 \\ \alpha + \beta_1(x - b_1) + \beta_2(x - b_2) & x \geq b_2 \end{cases}$$

这是连续的分段函数 (三段)。

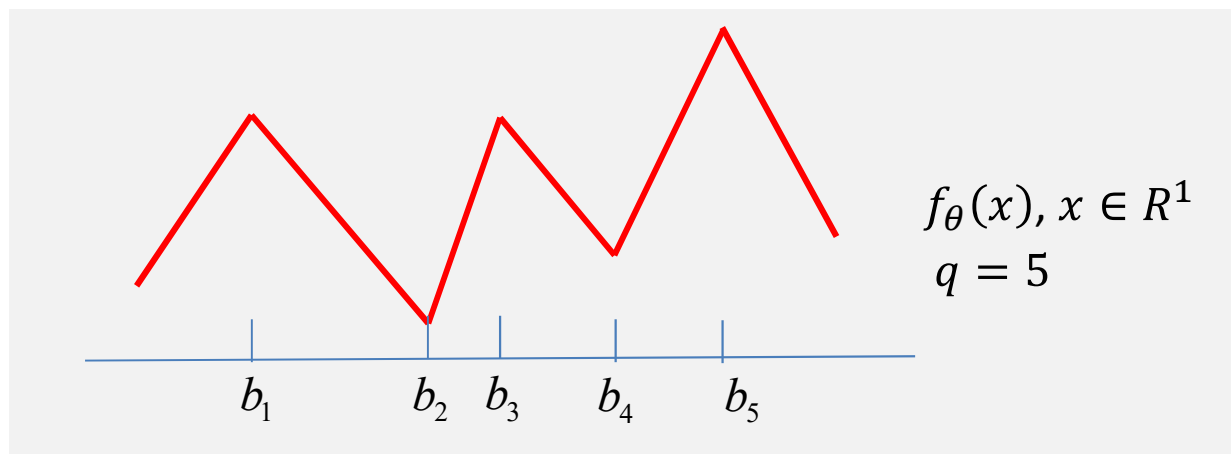


偏置：转折点、分割点

一元输入($p=1$)情形： q 个仿射变换/偏置, ReLU函数激活，
相加生成多段连续线性函数(转折点为偏置 b_1, \dots, b_q)

$$f_{\theta}(x) = \beta_0 + \beta_1(x - b_1)_+ + \dots + \beta_q(x - b_q)_+, \quad x \in \mathbb{R}^1$$

通用逼近定理证明了只要 q 足够大， $f_{\theta}(x)$ 可逼近任何连续函数。

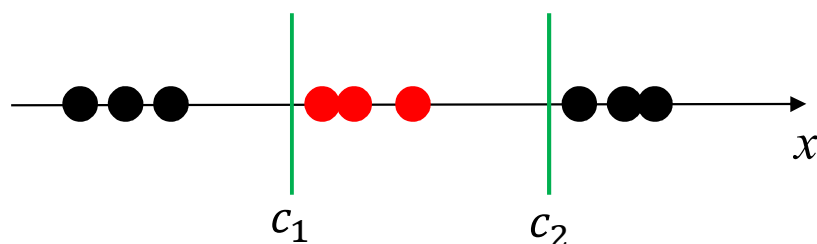


宽度 q

宽度即神经元的个数，也即偏置的个数 q 。偏置代表分段的位置，个数由数据点的可分性决定，称为VC（Vapnik-Chervonenkis）维数）

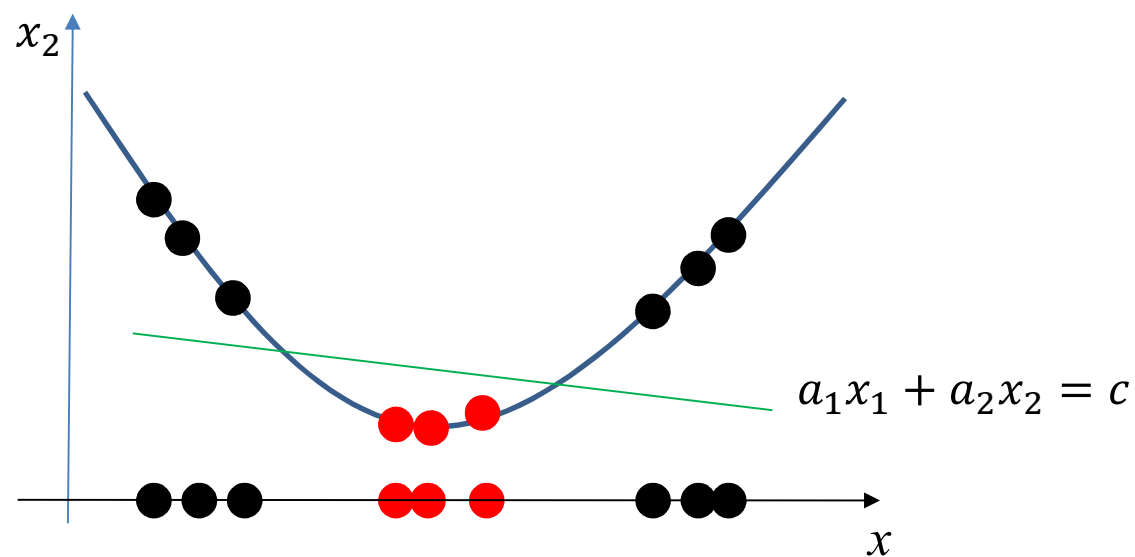
如果数轴上两类数据点（红、黑）可用一个线性函数 $x = b$ 分开，即由 $x < b$ 和 $x > b$ 判别两类，那么只需要1个神经元（一个偏置或一个阈值），此时是线性可分的。

如果一维数轴上两类数据点（红、黑）不能用一个分割点分开（ $x = c$ ），称为是线性不可分的（下图），但下图可用2个分割点分开（ $x = c_1, x = c_2$ ）。



将 x 映射到二维空间:

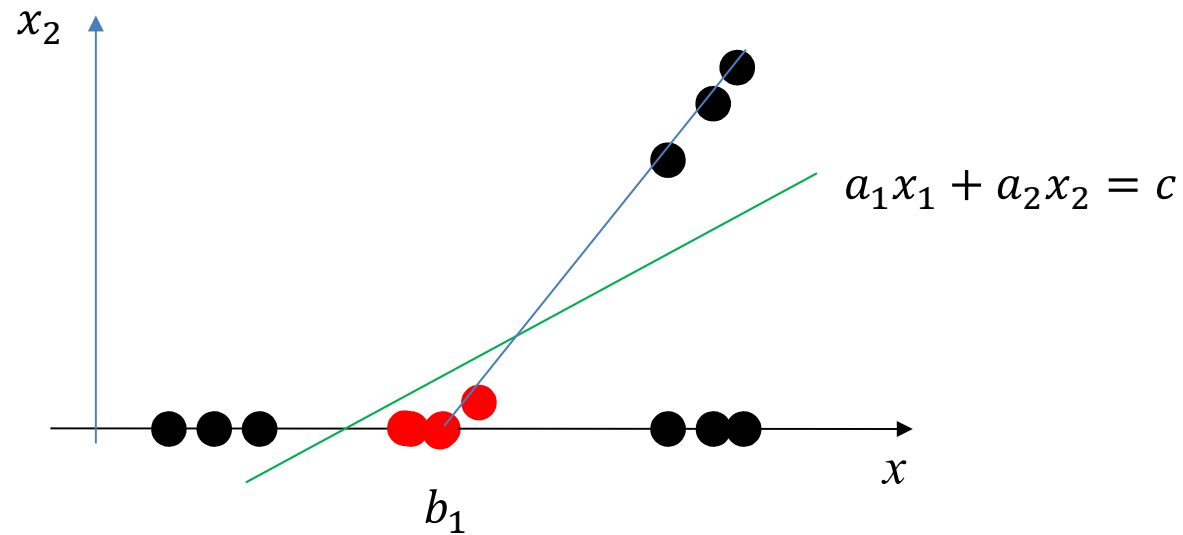
$$x \rightarrow (x_1, x_2) = (x, x^2)$$



在二维空间中直线 $a_1x_1 + a_2x_2 = c$ 可将两类分开 (线性可分)

ReLU可达到类似效果，将 x 映射到二维空间：

$$x \rightarrow (x_1, x_2) = (x, (x - b_1)_+)$$



在二维空间中直线 $a_1x_1 + a_2x_2 = c$ 可将两类分开（线性可分）

单层神经网络(一元输入)

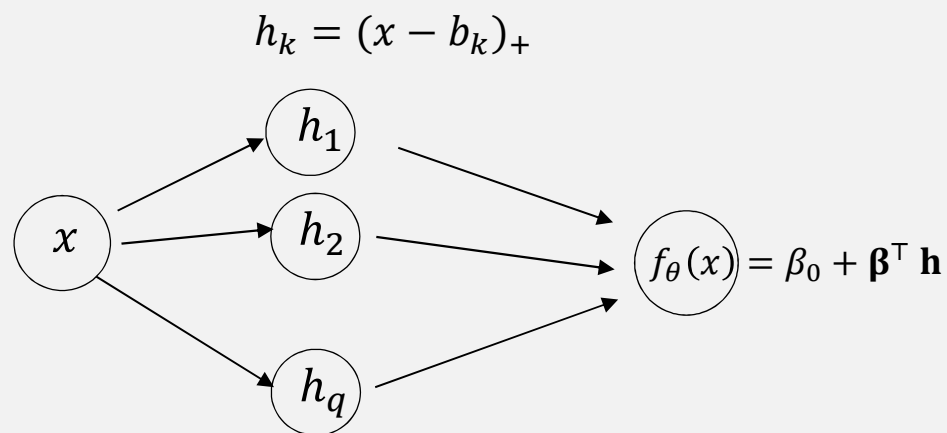
一般地，将一维数据映射到 q 维空间：

$$x \in R^1 \rightarrow \mathbf{h} = ((x - b_1)_+, \dots, (x - b_q)_+)^T \in R^q,$$

假设 \mathbf{h} 的线性回归函数（单层神经网络）

$$f_{\theta}(x) = \beta_0 + \beta_1(x - b_1)_+ + \dots + \beta_q(x - b_q)_+ = \beta_0 + \boldsymbol{\beta}^T \mathbf{h}$$

当偏置参数 b 's以及斜率参数 β 's足够多时，该函数可逼近任何连续函数。



单层神经网络(p 元输入)

数据: $(\mathbf{x}_i, y_i), i = 1, \dots, n$. 原始 $\mathbf{x} \in R^p$ 与 y 没有线性关系, 但 \mathbf{x} 变换之后, $\mathbf{h} = (h_1, \dots, h_q)^T$ 与 y 具有线性关系 (单层神经网络).

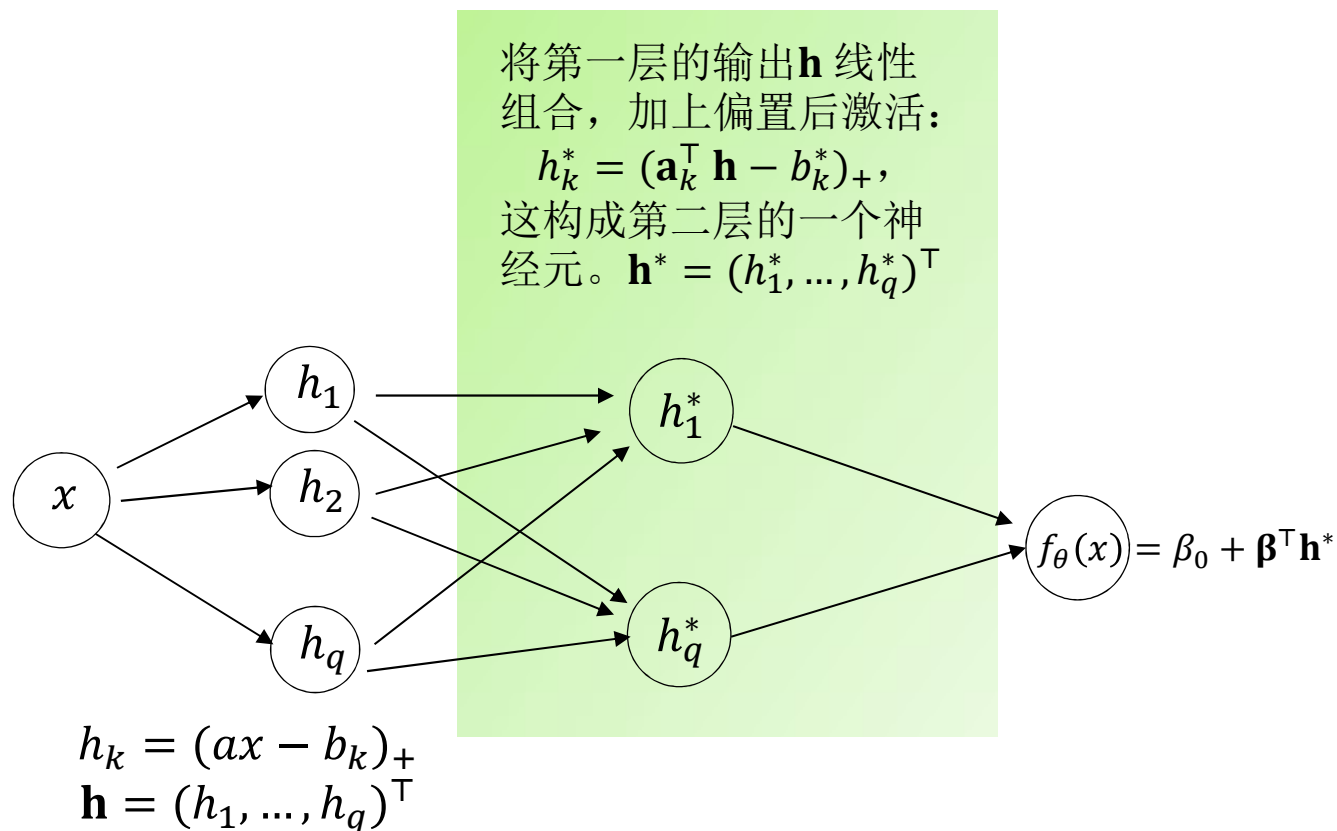
$$E(y | \mathbf{x}) = \beta_0 + \sum_{k=1}^q \beta_k h_k, \mathbf{x} \in R^p$$

其中变换 ϕ_k 含有未知参数 $\boldsymbol{\theta}_k$, $h_k = \phi_k(\mathbf{x}, \boldsymbol{\theta}_k), k = 1, \dots, q$ 构成隐藏层的神经元。

- 若 $h_k = \phi_k(\mathbf{x}, \boldsymbol{\theta}_k) = \phi_k(\boldsymbol{\theta}_k^T \mathbf{x})$, 称为投影追踪 (projection pursuit).
- 若 ϕ_k 取为幂次函数 x^k , 则为多项式回归。
- Box - Cox 变换对应于 $q = 1, \phi_1 = x^\lambda$
- ReLU 激活的仿射变换: $h_k = \phi_k(\mathbf{x}, \boldsymbol{\theta}_k) = (A_k \mathbf{x} + \mathbf{b}_k)_+$

深度

两层神经网络：对第一层的输出再次应用非线性变换，特别地，仿射+ReLU激活（仍以一元输入为例）



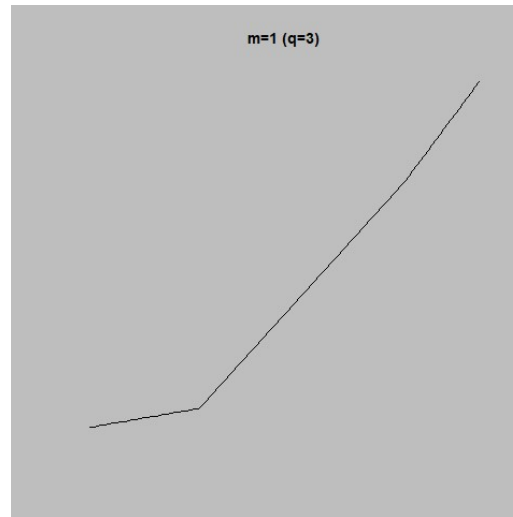
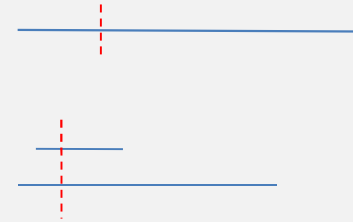
第一层输出 \mathbf{h} 的线性组合 $f(x) = \mathbf{a}^T \mathbf{h}$ 是一个 q 个转折点（分割点）的分段线性函数, 对其再应用仿射+ ReLU激活, 则得到 $\sim q/2$ 个新的分割点 (如下图)



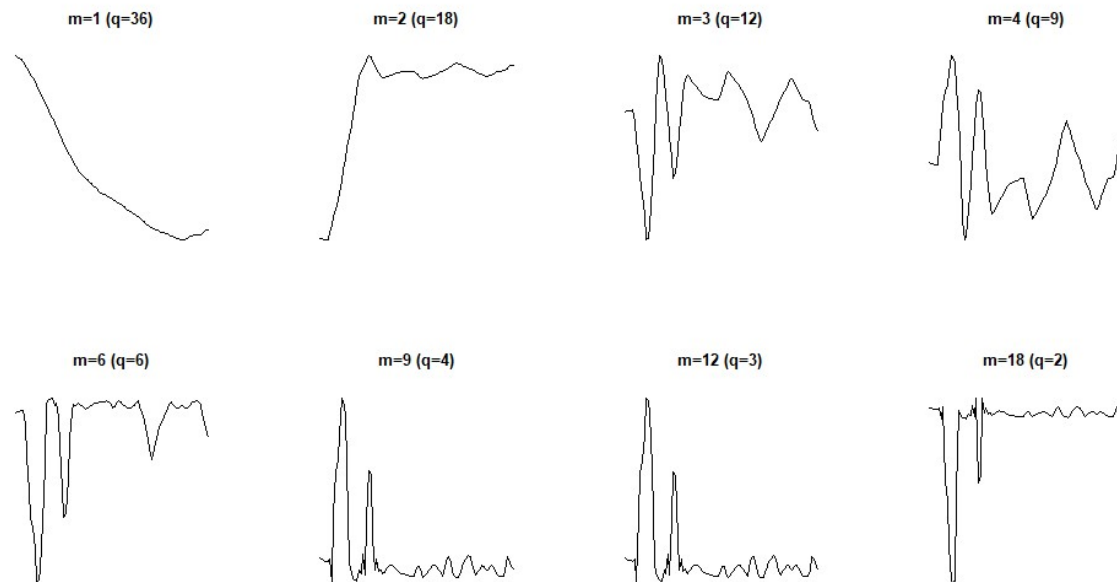
- 两层神经网络: 对第一层的输出应用 q 次仿射+ReLU激活, 大约得到 $\sim \frac{q}{2} \times q$ 个分割点, 即两层神经网络使用 $2q$ 个偏置得到 $\sim q^2$ 段的分段线性函数。
- m 层DNN, 每层 q 个神经元, mq 个偏置可生成 $O(q^m)$ 段的分段线性函数, 相比之下, 单层网络需要 $O(q^m)$ 个偏置参数。所以多层网络可以以较少的偏置参数能得到足够多段的分段函数。

类比折叠剪绳：

一条绳子先剪 q 次（ q 个偏置），把 $q + 1$ 段折叠在一起（线性组合），再剪 q 次，共得到 $\sim q^2$ 个线段。剪 m 次可产生 $\sim q^m$ 段。



$mq = 36$ (偏置个数固定), 随着深度 m 增加分段线性函数倾向于越来越复杂



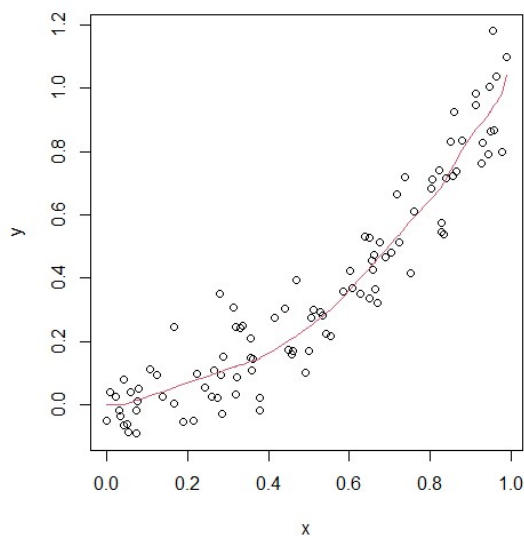
梯度下降法阻止过拟合 (收敛到局部最优)

梯度下降法

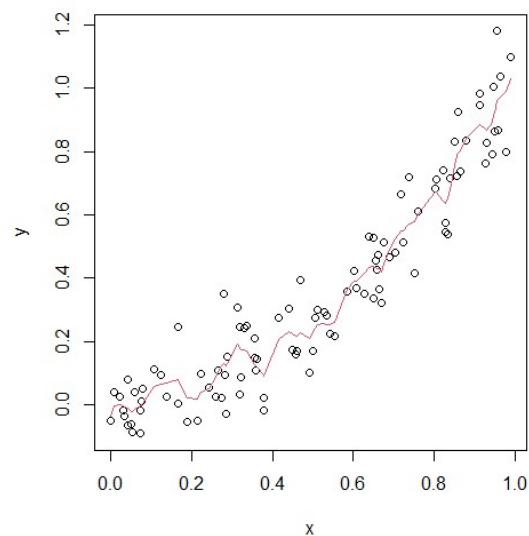
损失函数 $L(\theta) = \sum (y_i - f(\mathbf{x}_i, \theta))^2$

梯度下降解法: $\theta^{\text{new}} = \theta^{\text{old}} - \eta \nabla f(\theta^{\text{old}})$, η : 学习率

梯度计算: 反向传播法 (adjoint!)



局部最优
(较大的学习率或者
early stopping)



接近全局最优
(较小的学习率或稳
定收敛)

深度学习

深度学习 (deep learning) 方法是基于DNN的机器学习方法。深度学习之父G. Hinton (2006) 应用反向传播法解决了多层深度网络模型的可计算性问题。此后，深度学习普及应用于多种场景的不同网络结构的学习任务。



主要模型结构

基本模型架构：深度神经网络DNN。
各种应用的不同在于输入不同，以及针对特殊场景的模型结构的调整。

主要应用领域

图像识别 (CV: computer vision)
语言处理 (NLP: natural language processing)
语音识别 (ASR: automatic speech recognition)
推荐系统
自动翻译
最新成就：alphafold2预测蛋白质空间结构、alphacode

深度学习框架

Pytorch, Tensorflow, keras
参考书：G Strang (2019) Linear algebra and learning from data.

关于考试

考试时间：下学期1-2周（具体时间未定）

复习网站：<http://home.ustc.edu.cn/~zhouwenbin/TA/Rareview.html>（谢谢助教）

习题课：2022-1-6 (9:45-12:00) 腾讯

复习范围：

- 课件（除了第8-9-10、18讲，以及课件中虚线框内容和附录）
- 作业（考试题目类型将与作业类似，难度大致相当（除了hw4.2））。

课件	阅读材料	作业	上机
第一讲：回归分析简介 (9.2)	Freedman:第一章	hw1	
第二讲：相关系数与偏相关系数 (9.9)	《统计学》第1-2章 中文	hw2	
第三讲：随机向量及去相关化 (9.16)	王松桂: 第二章	hw3	
第四讲：随机向量之间的相关性 (9.23)	王松桂: 第二章		lab1
第五讲：线性回归模型 (9.30)	R in action	hw4	
第六讲：简单线性回归模型 (10.9)		hw5	
第七讲：简单线性回归模型 (续10.14)			
第八讲：简单线性模型的应用 (10.21)	Freedman:第2章	hw6	lab2
第九讲：线性代数 (10.28)	Axler: 线性代数	hw7: Axler:第1.3章	
第十讲：线性代数 - 矩阵 (11.4)	广义逆: 《线性模型引论》2.2节	hw8	
第十一讲：投影与最小二乘 (11.11)		hw9	
第十二讲：最小二乘II (11.18)		hw10	
第十三讲：约束最小二乘和F检验 (11.25)		hw11	lab3
第十四讲：广义最小二乘 (12.2)	Freedman: 4.5章		lab4: lab3的3-5
第十五讲：方差分析 (12.9)		hw12	
第十六讲：回归诊断 (12.16) 腾讯	Google Flu Trends	hw13	lab5
第十七讲：预测 (12.23) 腾讯	特殊时期, hw13, lab5, hw14 提交时间可以弹性	hw14	
第十八讲：预测 II (12.30) 腾讯			